

АКАДЕМИЯ НАУК ГРУЗИНСКОЙ ССР  
ИНСТИТУТ ГЕОФИЗИКИ

На правах рукописи

Караханян Армен Карапетович

ПАЛЕОМАГНИТНЫЕ ИССЛЕДОВАНИЯ ВУЛКАНОГЕННЫХ,  
ВУЛКАНОГЕННО-ОСАДЧНЫХ И ОСАДОЧНЫХ ПОРОД  
ПАЛЕОГЕНА АРМЯНСКОЙ ССР

Специальность 04.00.12 – Геофизические методы  
поисков и разведки месторождений железных ис-  
копаемых

Автореферат  
диссертации на соискание ученой степени  
кандидата геолого-минералогических наук

Тбилиси – 1982

Работа выполнена в ордена Трудового Красного Знамени  
Институте геофизики и инженерной сейсмологии АН Армянской ССР.

Научный руководитель: доктор геолого-минералогических наук

П.Г.АКОПЯН

Официальные оппоненты:

доктор геолого-минералогических наук, профессор О.А.САРКИСЯН,  
кандидат физико-математических наук Л.В.ВЕКУА,  
кандидат геолого-минералогических наук Б.З.АСАНИДЗЕ

Ведущее предприятие: Институт физики Земли АН СССР

Защита состоится 23 "июня" 1982 г. в 14 00 часов на  
заседании специализированного совета К 007.14.01 при Институте  
геофизики АН ГССР по адресу: г.Тбилиси, ул.З.Рухадзе, 1.

С диссертацией можно ознакомиться в библиотеке Института.

Отзывы на автореферат в двух экземплярах, заверенные пе-  
чатью учреждения, просим направлять ученому секретарю специали-  
зированного совета по адресу: 380093, г.Тбилиси, ул. З.Рухадзе,  
1.

Автореферат разослан "10" июня 1982 г.

Ученый секретарь

специаль-

кни

.Г.АМИРАНАШВИЛИ/

*Л.Г.М.*

## ОБЩАЯ ХАРАКТЕРИСТИКА РАБОТЫ

Актуальность проблемы. Палеогеновые образования территории Армянской ССР являются перспективными на выявление различных полезных ископаемых (строительные материалы, уголь, горючие сланцы, медно-гематитовые и хромитовые руды, минеральные воды). Однако наличие в палеогеновом разрезе палеонтологически "немых" толщ отрицательно сказывается в деле их точного датирования и расчленения на отдельные свиты и корреляции. Это приводит к различным мнениям как о геологическом развитии территории республики в палеогене, так и в изучении размещения полезных ископаемых.

Для успешного решения проблематичных вопросов стратиграфии палеогена может быть применен палеомагнитный метод стратиграфической корреляции.

С другой стороны, магнитостратиграфическая шкала кайнозоя к настоящему времени не может быть составлена ввиду фрагментарных палеомагнитных данных по палеогену. Уточнение и детализация палеомагнитной шкалы палеогена несомненно важны как с точки зрения региональной стратиграфии, так и тектоники.

Все это определяет актуальность палеомагнитных исследований, научное и практическое значение поставленных задач.

Цель работы. Проведение детальных палеомагнитных исследований палеогеновых образований Армении для их возрастного расчленения, корреляции и составления палеомагнитной шкалы.

Основные задачи исследований. В соответствии с поставленной целью решались следующие задачи:

1. Составление опорной палеомагнитной шкалы палеогена Армянской ССР; возрастное расчленение, корреляция и уточнение возраста ряда образований.

2. Выявление закономерностей распределения вектора естеств-

зенной остаточной намагниченности ( $J_n$ ) в вулканогенных, вулканизменно-осадочных и осадочных породах палеогена Армении.

3. Определение синхронности формирования горной породы, естественной остаточной намагниченности и ферромагнитных минералов, ответственных за эту намагниченность.

4. Оценка величины палеонапряженности геомагнитного поля по отдельным ярусам палеогена и определение географических координат палеомагнитного полюса палеогена Армении.

Для решения вышепоставленных задач применен комплекс методов исследований, удовлетворяющих требованиям трех критериев палеомагнитной надежности (Печерский Д.М., Нгуенъ Тхи Ким Тхое, 1978).

Научная новизна. Впервые проведено палеомагнитное исследование горных пород палеогена территории Армении. По зонам инверсий геомагнитного поля расчленены и скоррелированы генетически различные геологические образования. Составлена опорная палеомагнитная шкала палеогена.

Впервые выявлен новый обратнонамагниченный горизонт в ширакской тuffогенной свите среднего эоцена, который может служить репером при корреляции пород данного интервала геологического времени. Оценена величина напряженности геомагнитного поля для отдельных ярусов палеогена.

Практическая ценность. Палеомагнито-стратиграфический разрез палеогена позволяет более детально расчленить рудоносные образования палеогена, провести корреляцию и уточнить возраст "немых" толщ. В частности, палеомагнитные данные подтверждают среднеэоценовый возраст кварцевых порфиров Севано-Шираксского синклиниория, с которыми связаны колчеданные месторождения. Рекомендуется провести границы между средним и верхним эоценом, нижним и средним эоценом по контакту обратнонамагниченных го-

ризонтов, выявленных между ними. Вычислены координаты палеомагнитного полюса для палеогена.

Фактический материал. Опорный палеомагнитный разрез палеогена Армении составлен на основе изучения 28 обнажений. Отбор ориентированных образцов производился из хорошо обнаженных выходов горных пород. Отобрано более 800 образцов. Лабораторные исследования проведены по общепринятой в магнетизме горных пород и палеомагнетизме методике.

Апробация. Материалы диссертации доиздавались и обсуждались на: семинарах Института геофизики и инженерной сейсмологии АН Арм.ССР, X съезде "Главное геомагнитное поле и проблемы палеомагнетизма (Москва, 1976), республиканских конференциях молодых научных работников (Ленинакан, 1977, 1980), совещаниях "Геофизические поля и строение верхней мантии Кавказа (Баку, 1978; Сухуми, 1979, 1980), общемосковском семинаре по магнетизму горных пород и палеомагнетизму (Москва, 1981), II Всесоюзном съезде "Постоянное геомагнитное поле, магнетизм горных пород и палеомагнетизм (Тбилиси, 1981).

Публикации. По теме диссертации опубликовано 10 работ.

Объем работы. Диссертация состоит из введения, четырех глав и основных выводов, изложенных на 135 страницах машинописного текста, содержит 47 рисунков, таблиц I2, список использованной литературы, включающий 81 наименование.

Автор считает своим приятным долгом выразить искреннюю благодарность заведующей лабораторией по изучению физических свойств горных пород Института геофизики и инженерной сейсмологии АН Арм.ССР, кандидату геолого-минералогических наук Дж.О.Минасян и коллективу лаборатории за помощь при выполнении работы.

## СОДЕРЖАНИЕ РАБОТЫ

Во введении сформулированы цель и задачи исследований, показана актуальность проблемы. Приводится обзор литературных сведений о палеомагнитной изученности палеогена. Анализ литературных данных показал, что палеомагнитные исследования, относящиеся к палеогену, большей частью (за исключением работ Х.Назарова, 1973 и А.З.Гасанова, 1975) ограничиваются определением палеомагнитных полюсов, оставляя открытым вопрос о палеомагнитной шкале и характере изменения геомагнитного поля в палеогене.

В первой главе дается геологическая характеристика изученных разрезов и обнажений.

Палеогеновые отложения на территории Арм.ССР пользуются широким распространением и характеризуются они изменчивостью, фацией и мощностями.

Отложения датского яруса палеоцене пользуются ограниченным распространением и выражены в основном в флишевых фациях. В Севанско-Ширинском синклиниории дат-палеоцен представлен розовато-бурыми мергелями и известняками, а в районе села Веди (гора Котуц) – песчаниками, известняками.

Палеоцен-нижнеэоценовые отложения развиты в районе Айоцдзорского перевала и представлены перемежающейся свитой известняков, песчаников и алевролитов (р-н с. Таратумб).

Нижнеэоценовые отложения согласно залегают в основании среднего эоцене и в целом являются маркирующим горизонтом для территории Армении.

К нижнему-среднему эоцену относится песчано-глинистая шамутская свита.

Среднеэоценовые образования пользуются наиболее широким распространением. В северной Армении средний эоцен представлен

в составе двух свит - ширакской и кироваканской. Ширакская свита представлена туфопесчниками, туффитами, туфалевролитами, а кироваканская - в основном вулканогенными породами. В центральной и южной Армении средний эоцен выражен как эфузивами (р-н с. Малишка), так и туфогенными породами (айоцдзорская свита).

Средний-верхний эоцен (овераский ярус) представлен туфогенными породами.

Верхний эоцен выражен, в основном, в составе так называемой пембакской свиты (в северной Армении). Он делится на две части: нижняя эфузивно-осадочная, с преобладанием андезитов и терригенно-туфогенных пород и верхняя - эфузивная.

Нижний-средний олигоцен представлен в составе шорахбюрской свиты - песчаники и глины. В районах сел Ахавнадзор-Ринд нижний-средний олигоцен представлен двумя фациальными группами - осадочными и вулканогенными.

На шорахбюрскую свиту налегает свита красноцветных и пестроцветных отложений верхнего олигоцена - нижнего миоцена. Представлена она глинами и песчаниками.

Стратиграфическое положение палеогеновых образований приводится по данным А.А.Габриеляна, А.О.Саркисяна, С.Б.Абояна.

Отбор ориентированных образцов производился с учетом следующих условий:

а) непрерывность разреза; б) их стратиграфическое положение; в) возможность дублирования коллекции по одновозрастным разрезам.

В этой же главе приведены стереограммы распределений векторов  $J_{pl}$  и стратиграфические колонки по наиболее полно изученным разрезам в условных единицах масштаба.

Вторая глава посвящена исследованию естественной остаточной

ной намагниченности горных пород палеогена территории Армении.

Естественная остаточная намагниченность и магнитная восприимчивость измерялись на астатическом магнитометре системы С.И.Долгилова с  $\xi = 7 \cdot 10^{-6}$  СГС и ИОН-1 с диапазоном измерений от  $2 \cdot 10^{-4}$  СГС до  $5-8 \cdot 10^{-8}$  СГС.

Горные породы палеогена характеризуются широким пределом изменения  $J_n$  - от  $5 + 30 \cdot 10^6$  СГС (мергели и известники районов сел Овуни и Лусахбюр) до  $8 \cdot 10^{-3}$  СГС (эффузивы). Особое внимание было уделено изучению величины  $Q$ .

Составлены гистограммы распределения параметра  $Q$  в различных по возрасту и происхождению породах. Наблюдается определенная связь между различными по генезису пород, возрастом и величиной  $Q$ . Параметр  $Q$  уменьшается по мере увеличения возраста и при переходе от эффузивов к вулканогенно-осадочным разностям.

Для диагностики и изучения ферромагнитных минералов, формы и размеров их зерен, а также их вторичных изменений и выбора оптимального метода чистки проведены следующие исследования: термомагнитный (около 40 эффузивных и вулканогенно-осадочных образцов, представляющих все ярусы палеогена) и рентгенофазовый анализ, получены кривые нормального намагничивания  $J_2(\bar{H})$  и вычислены их коэрцитивные спектры, микроскопическое изучение ферромагнитных минералов в аншлифах и ферромагнитной фракции спектральным и химическим анализом.

На основе анализа зависимости  $J_{2S} = f(t)$ ,  $J_S = f(t)$ , по отношению  $J_{2S}/J_{2S0}$  и по характеру кривых  $J_2(\bar{H})$ , коэрцитивным спектрам  $J_2(\bar{H})$ , параметру  $H_{CS}$  эффузивы палеогена подразделены на три магнитных типа.

I. Кривые  $J_{2S}(t)$  характерны для пород с магнетитовой фракцией. Кривые  $J_{2S}(t)$  и  $J_{2S_0}(t)$  близки друг к другу. Отношение  $J_{2S}/J_{2S0}$  изменяется от 0,85 до 0,95, т.е.  $J_{2S}/J_{2S0}$  близко к единице. В

пределах 200–250°C наблюдается перегиб. Он коррелируется с содержанием титаномагнетита (до 3%) от общей массы породы. На повторной кривой этот перегиб сохраняется, т.е. является точкой Кюри. Слияние кривых в пределах 525–570°C подтверждает магнетитовый состав ферромагнитной фракции. Кривые  $J_s(t)$  также близки и фиксируют фазу с точкой Кюри 525–575°C.  $H_{Cs} = 2500$  э в  $H_{Cs}$  изменяется в пределах 300 ± 450 э. Эти параметры характерны более всего для ферромагнитных зерен магнетита, возможно близких к однодоменному. На  $Kc$  по  $J_2(\bar{H})$  наблюдается один максимум в пределах 400 э.

Минералогический анализ позволил выделить (ИГН Арм.ССР, Абовян С.Б.) рудные минералы различных происхождений:

а) магматические магнетиты и титаномагнетиты с размерами зерен от 0,01 до 0,5 мм;

б) субмикроскопические, вторичные по отношению к первой группе, титаномагнетиты с размерами зерен до 0,2 мм.

Так как основным носителем намагниченности эффузивов палеогена Армении является магнетит, то определение природы их естественной остаточной намагниченности проведено методом последовательных нагревов Телье. Образцы этой группы характеризуются вполне надежными кривыми Телье. Совпадение кривых  $J_n(t)$  и  $J_{2n}(t)$  и близость коэффициента  $K$  для различных температурных интервалов (таблица I) свидетельствуют о  $TRM$  этих образцов и ее синхронности процессу остывания лав.

Таблица I

№ образца. Возраст	Поляр- ность	100°	200°	300°	400°	500°	$K_{sp.}$
83 – $Pg_2^3$	N	0,97	0,98	1,00	1,02	1,02	0,99
125 – $Pg_2^2$	R	0,78	0,74	0,77	0,75	0,76	0,76
28 – $Pg_2^2$	N	0,81	0,85	0,87	0,86	0,76	0,79
292 – $Pg_3$	R	0,92	0,89	0,98	0,98	0,98	0,95

Отношение  $Jn/Int$  изменяется в пределах 0,8-1,2, а  $Jz=Jn$  при  $Hc = 0,4 - 1,0$  э.

Чистка  $h$ -полем выявила следующее. Образцы этой группы имеют выпуклую (от координатной оси) кривую размагничивания. До 100-200 э происходит незначительное уменьшение величины и изменение направления намагниченности ( $\mathcal{D}$  и  $J$ ), свидетельствующей о стабильной ферромагнитной компоненте. Медленное размагничивающее поле изменяется в пределах от 250 до 600 э.

Плавный ход кривой  $Jn(h)$  и неизменность направления в процессе ( $T, h$ ) чистки свидетельствуют об однокомпонентности  $Jn$ , которая стабильна и может считаться первичной. Кривые  $Jn(t)$  и  $Jnt(h)$  подтверждают  $TRM$  эффузивов этой группы.

2. Образцы, содержащие магнетит и маггемит. Маггемит неустойчив в нагревах и в пределах 200-250<sup>0</sup>С он превращается в гематит. После нагрева до 600<sup>0</sup>С величина  $Jz$  уменьшается почти в два раза. Наличие маггемита отражается и на кривых  $Js(t)$ . Величина  $Hes = 1000$  э,  $Hcs = 250$  э. Коэрцитивный спектр характеризуется максимумом в полях 100-300 э. По оптической микроскопии выделены магнетит магматический, размер зерен 0,01-0,01 мм, а также титаномаггемиты (?).

Кривые Телье образцов этой группы не надежны. До 250-400<sup>0</sup>С наблюдается резкий спад  $Jn$ , связанный с маггемитом. В интервале 250-400<sup>0</sup>С наблюдается фазовый переход маггемита в гематит. Изменяется и направление  $Jn$  до 300<sup>0</sup>С, далее оно остается неизменным. Коэффициент  $K$  варьирует (таблица 2).

Таблица 2

№ образца. Возраст	Поляр- ность		100 <sup>0</sup>	200 <sup>0</sup>	300 <sup>0</sup>	400 <sup>0</sup>	500 <sup>0</sup>	K <sub>ср.</sub>
	I	II	3	4	5	6	7	
379 - $Pg_2^2$	$N$		0,75	0,69	0,57	0,61	0,63	0,65
334 - $Pg_2^2$	$N$		0,83	0,84	0,71	0,65	0,68	0,74

I	2	3	4	5	6	7	8
90 - $\text{Pg}_2^3$	R	1,30	1,16	1,37	1,78	0,56	1,23
126 - $\text{Pg}_2^2$	R	1,03	1,03	1,03	0,77	0,44	0,85
194 - $\text{Pg}_2^3$	R	0,97	0,97	0,91	1,09	1,00	0,99

Результаты  $h$ -чистки показали, что до 200–300 °Э происходит изменение направления  $Jn$  и спад ее величины, разрушается намагниченность, связанная с магнетитом. При дальнейшем повышении размагничивающего поля направление  $Jn$  остается стабильным. Основная часть магнетитосодержащих образцов была подвергнута температурной чистке. Часть  $Jn$ , связанная с магнетитом, разрушается в температурном интервале от 200 до 300°С. Одновременно со спадом величины  $Jn$  происходит и изменение направления  $Jn$  до этих температур. Далее скорость уменьшения величины  $Jn$  замедляется, а направление  $Jn$  стабилизируется выше 300–350°С. Для уверенного выделения  $Jn$  образцов этой группы использован геофизический критерий палеомагнитной надежности: направление стабильной компоненты  $Jn$  сравнено с направлением  $Jn$  одновозрастных образцов с  $TRM$ . Установлено их хорошее соответствие, что позволило использовать их для палеомагнитных построений.

Таким образом,  $Jn$  образцов этой группы двухкомпонентна. Носителем нестабильной компоненты  $Jn$  является магнетит, а стабильной – магнетит.

3. Вид кривых  $J_{25}(t)$  позволяет считать, что носителями  $Jn$  являются магнетит и, по всей вероятности, титаномагнетит. При повторном нагреве  $J_{25}$  возрастает в 1,2 – 1,6 раза. Титаномагнетит при 250–300°С разрушается с образованием магнетита и гематита. Вторая точка Кюри расположена в интервале 525–580°С.

Величина  $H_{es} \approx 2000$  э, а  $H_{cs} = 250-300$  э. Коэрцитивный спектр по  $J_2(\bar{H})$  характеризуется максимумом в пределах 100-300 э. По оптической микроскопии выделены зерна титаномагнетита размерами от 0,01 до 0,05 мм. Кривые Телье этой группы надежны. Сюда включены и некоторые образцы из второго магнитного типа по  $J_{2s}(t)$  и  $J_s(t)$ , в которых отношение  $J_{2s}/J_{2s0}$  больше 0,6-0,7, т.е. где состав ближе к магнетитовому и содержание маггемита меньше. До  $250-300^\circ\text{C}$  наблюдается незначительный спад  $J_T$ , связанный с титаномаггемитом и маггемитом, изменяется и направление. Далее до  $500-600^\circ\text{C}$  оно стабилизируется. Коэффициент  $K$  претерпевает незначительные изменения (таблица 3).

Таблица 3

№ образца Возраст	Поляр- ность	$100^\circ$	$200^\circ$	$300^\circ$	$400^\circ$	$500^\circ$	$K_{ср.}$
77 - $Pg_2^3$	N	0,93	1,02	1,00	1,00	0,97	0,98
81 - $Pg_2^3$	N	0,90	0,96	1,00	1,00	0,98	0,97
29 - $Pg_2^2$	R	0,94	1,00	0,96	0,85	0,90	0,93
32 - $Pg_2^2$	N	0,83	0,92	0,86	0,87	0,89	0,89

Установлена термосостаточная природа  $J_T$  образцов этой группы и ее синхронность процессу остывания лав. Отношение  $J_T/J_{int}$  изменяется в пределах от 0,83 до 0,94.

На кривых  $J_T(h)$  до полей 150-200 э наблюдается спад  $J_T$  и изменение ее направления, связанный, вероятно, с маггемитом и (или) титаномаггемитом. Медианное размагничивающее поле лежит в пределах от 150 до 300 э. Стабильность зависит от содержания минералов, неустойчивых к нагревам и  $H$  - полю. Чем меньше отношение  $J_{2s}/J_{2s0}$ , тем менее стабильна намагниченность. При дальнейшем увеличении амплитуды размагничивающего

поля или повышении температуры направление  $J_n$  не меняется. Это значит, что нестабильные к нагревам и  $H_c$ -поля минералы вторичны и обладают либо вязкой, либо химической намагниченностью крупных зерен.

Терромагнитные исследования вулканогенно-осадочных и осадочных пород (туфиты, туфопесчаники, песчаники) показали, что основными минералами - носителями  $J_n$  в них являются магнетит и титаномагнетит. Титаномагнетит неустойчив к нагреву.

Песчаники нижнего-среднего олигоцена (шорехбурская свита) характеризуются кривыми  $J_{2S}(t)$  магнетит-маггемитового состава.  $J_{2S}/J_{2S_0} = 0,5-0,6$ , первичная и повторная кривые  $J_{2S}(t)$  сливаются в пределах  $550-575^{\circ}$  - точка Кюри магнетита. По оптической микроскопии в них выявлены магнетит до 5%, пирит и гематит в незначительном количестве.

Для диагностики вида намагниченности осадочных и вулканогенно-осадочных пород применен метод сравнения характеристик стабильности. Кривые  $J_n(h)$  расположены выше или вблизи кривых  $J_{2i}(h)$ , а величина  $H_c$ , при котором  $J_{2i} = J_n$ , изменяется от 0,1 до 0,3 э. Это свидетельствует в пользу ориентационной природы стабильной части намагниченности этих пород.

Для выделения стабильной  $J_n$  использован в основном метод переменного поля. Для надежного выделения  $J_n^o$  осадочных и вулканогенно-осадочных пород проведено сопоставление средних направлений этих пород с одновозрастными эфузивами, для которых показана термоостаточная природа  $J_n$ . Их хорошая сходимость позволила считать выделенную стабильную намагниченность в осадочных и вулканогенно-осадочных породах первичной и синхронной времени их образования.

Анализ стереограмм и кривых изменения направлений вектора статической намагниченности показал, что: для выделения пер-

вичной намагниченности горных пород палеогенового возраста территории Армении результативной является чистка переменным полем с амплитудой 200–300 э. и температурная чистка в интервале температур 200–400°C в зависимости от ферромагнитного состава.

Для выявления числа компонент  $Jn$  был использован метод компенсации и построены коэрцитивные спектры  $Jn(h)$ . Установлено, что величина  $Jnv$  не превышает 15–20% бывшей у них величины  $Jn$ . Коэрцитивный спектр по  $Jn(h)$  характеризуется одним максимумом в интервале полей от 100 до 200 или от 400 до 500 э, что подтверждает, по всей вероятности, однокомпонентность стабильной части  $Jn$ .

В процессе исследований было уделено внимание вопросу о причине обратной намагниченности горных пород палеогена. Мы исходили из систематического сравнения магнитных свойств и состава  $N$  и  $R$  – пород. Сравнивались параметры  $Jn$ ,  $Q$ ,  $S_{300-400}^h$ , отношение  $Jnv/Jn$ , характер кривых  $Jn(h)$ ,  $KC$  по  $Jn(h)$  и  $Jz(\bar{H})$ . Выявлена идентичность как вещественного состава, так и магнитных характеристик  $N$  и  $R$  – пород. Это свидетельствует о том, что обратная намагниченность горных пород обусловлена  $R$  – полярностью геомагнитного поля, существовавшего в эпоху их образования.

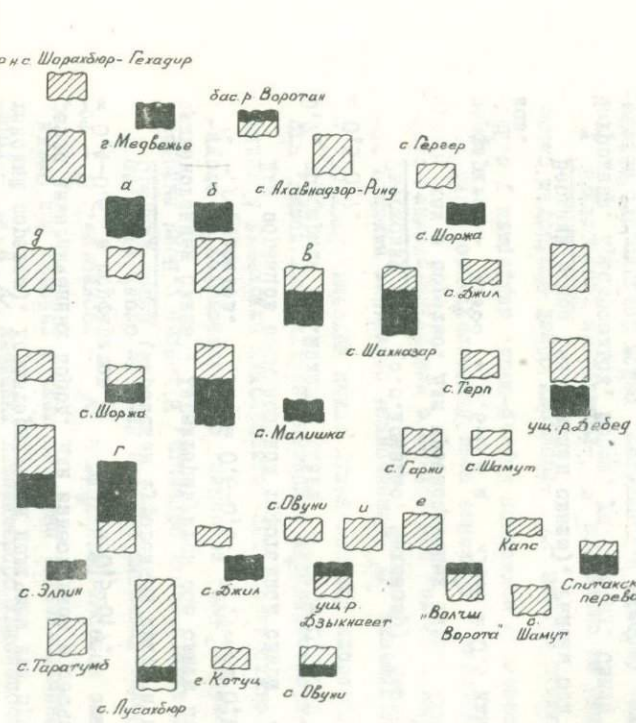
Глава третья. На основании полученных палеомагнитных данных проведены расчленение и корреляция палеогеновых образований, составлена палеомагнитно-стратиграфическая шкала палеогена (рисунок I) и вычислены координаты палеомагнитных полюсов по отдельным разрезам.

Дат-палеоцен (р-ны с.с. Овуни, Лусахбюр, гора Котуц). Мергели, известняки, песчаники. Намагничены прямо и обратно.

$$S_{200}^h = 0,5 - 0,6 \text{ и } S_{200}^t = 0,4.$$

П	А	Л	Е	Ө	Г	Н
Д. Р. п. А.	О	Ц	Е	Н		
Ижинский	С	Р	Г	Н	Верхний	
п. А.	Ижинский	Средний	Горный			
п. А.						

рис. Шоракандор-Гехадир



а - с. Медбекеево

б - с. Бзыбикнагор-Пушкинский перевал

в - с. Акабнадзор - г. Степанаван

г - с. Гардер .

д - с. Чубук

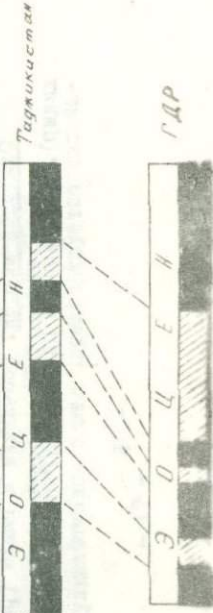
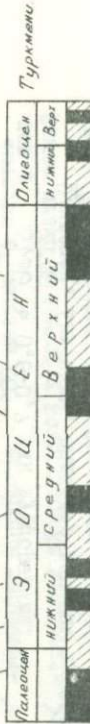
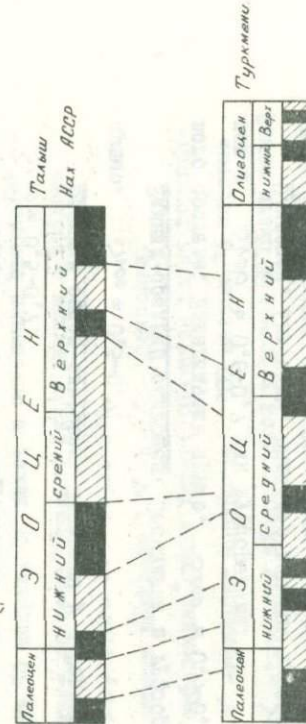
е - с. с. Бзыбикнагор-Горы

и. ч. Гюмчазорская свита

▨ - Горизонт

■ - Горизонт

рис. 1



ГДР

Палеоцен-нижний эоцен (р-н с. Таратумб). Характеризуется наличием только  $N$ -пород.  $S_{300}^h = 0,5-0,6$ .

Нижний эоцен (р-ны с.с. Спилак, Джил, Эллин, Лусахбюр, Спитакский перевал). Характеризуется наличием как прямо, так и обратно намагниченных пород. Для известняков и песчаников  $S_{300}^h = 0,4-0,6$ , а порфиритов —  $S_{300}^h = 0,5-0,7$ .

Средний эоцен (ширакская туфогенная свита и кироваканская вулканогенная свита). Характеризуются обе свиты наличием  $N$  и  $R$ -горизонтов.  $S_{400}^h = 0,6-0,8$  и  $S_{400}^t = 0,5-0,7$ .

Для образцов айоцдзорской туфогенной свиты  $S_{400}^h = 0,6-0,7$ , порфириты у с. Малишка имеют  $S_{400}^h = 0,6-0,8$  и  $S_{400}^t = 0,5-0,7$ .

Овераский ярус (с.с. Арменис, Шехназар). Намагничен как прямо, так и обратно. Для красноцветных туфов  $S_{500}^h = 0,7-0,9$ , порфиритов —  $S_{500}^h = 0,6-0,8$  и  $S_{300}^h = 0,3$  для туфопесчаников.

Верхний эоцен (памбакская свита). Районы сел Чигдемел, Мегрэдзор, Красносельски, Шоржа, ущ. р. Дебед. Свита характеризуется наличием  $N$  и  $R$ -эффузивов.  $S_{400}^h = 0,6-0,8$  и  $S_{400}^t = 0,5-0,7$ .

Верхний эоцен-олигоцен. Липариты у с. Гергер. Намагниченны прямо.  $S_{300}^h = 0,5-0,7$ .

Нижний-средний олигоцен. Песчаники и туфобрекчии андезитового состава. Намагниченны прямо.  $S_{200}^h = 0,5-0,6$  для песчаников и  $S_{400}^t = 0,6-0,7$  для туфобрекчий.

Олигоцен. Андезиты, андезито-дациты, туфобрекции, туфопесчаники (гора Медвежья, басс. р. Воротан). Намагниченны как прямо, так и обратно.  $S_{400}^h = 0,6-0,8$  и  $S_{400}^t = 0,5-0,8$ .

Олигоцен-миоцен. Песчаники и глины (районы сел Алаван, Гехидир). Намагниченны прямо. Полученные данные дали возможность

расчленить палеогеновые отложения Армении на  $N$  и  $R$  -го-  
ризонтов.

В дат-палеоценовых образованиях выявлены  $N$  и  $R$  - гори-  
зонты. Обратномагнитные выделены лишь в районах сел Овуни  
и Лусахпур, выше которых расположены  $N$  - горизонты.  $R$  - го-  
ризонт у с.с.Овуни-Лусахпур выделен нами не столь уверенно  
ввиду незначительного числа образцов. В районе с.Веди выделен  
лишь  $N$  -горизонт. Это, возможно, свидетельствует об отсут-  
ствии строгой синхронности дат-палеоценовых отложений Армении.

Палеоцен-нижеэоценовые отложения намагничены прямо, что  
не позволяет провести границу между этими ярусами. Этот  $N$  -  
горизонт с вышеизложим  $N$  -горизонтом основания нижнего эо-  
цена (Лусахпурская свита, синхронная с ней вулканогенная свита  
у с. Спитак, мергели в бассейне реки Дзынкагет, песчаники у  
с.Шемут, известняки у монастыря Кармир-ванк, порфириты у с.Дас-  
такерт) составляют единый  $N$  -горизонт общей мощностью свыше  
200 метров. Выше он сменяется  $R$  -горизонтом (известняки у  
с.с.Джил, Эллин, бассейн р.Дзынкагет, район Спитакского перева-  
ла). Его мощность 50 метров. Он лежит в основании среднего эо-  
цена, что позволяет провести границу между нижним и средним  
эоценом по контакту этого  $R$  -горизонта.

В среднем эоцене выявлены  $3N$  и  $2R$  -горизонта.

Ширакская тuffогенная свита характеризуется двумя гори-  
зонтами - нижний  $N$  -горизонт мощностью 200 метров, с которым  
коррелируется  $N$  -горизонт айоцдзорской тuffогенной свиты южной  
Армении. Выше  $N$  - горизонт ширакской свиты сменяется  $R$  -гори-  
зонтом (район с.с.Сарисар и Чигдамал). Ширакский  $R$  -горизонт  
среднего эоцена выделен впервые и может служить корреляционным  
и стратиграфическим репером. Мощность 150 метров.

Кироваканская вулканогенная свита характеризуется наличи-

ем  $\text{N}$  и  $R$  -горизонтов. Кровля и основание этой свиты намагничены прямо, между которыми четко выделяется горизонт  $R$  -поларности (районы с.с.Бзовдал, Шоржа, ущелье р.Дебед). Его мощность 108 метров. В иной Армении с этим  $R$  -горизонтом коррелируется  $R$  -горизонт в порфиритах у села Малишка. Его мощность 50 метров.

Кварцевые порфиры, с которыми связаны колчеданные месторождения, намагничены прямо (район Пушкинского перевала, с.Сарриэр). Мощность свыше 100 метров. Существуют противоречивые взгляды о возрасте этих образований. Одни геологи относят их к среднему эоцену, другие - к нижнему и даже к юре.

Палеомагнитные результаты подтверждают их среднезоценовый возраст.

Наши данные подтвердили также мнение тех геологов, которые относят верхнюю часть гарнийской туфогенной свиты к среднему эоцену. Эта свита намагничена прямо и составляет палеомагнитный  $N$  -горизонт мощностью около 70 метров.

Оверский ярус характеризуется наличием  $N$  и  $R$  -горизонтов. Красно-бурые туффиты, туфы и порфириты (районы с.с.Арменис и Шахназар) намагничены обратно. Мощность свыше 100 метров. Геологические данные относят порфириты у с.Шахназар к верхам среднего эоцена. Палеомагнитные направления и полюс по ним показали хорошее соответствие с таковыми по палеонтологически точно датируемым туффитам и туфам у с.Арменис. Это позволяет отнести их также к оверу и границу между средним и верхним эоценом провести по этому  $R$  -горизонту.

В разрезах верхнего эоцена выделены  $N$  и  $R$  -горизонты. Нижняя часть (эффузивно-осадочная) намагничена прямо. Ее мощность 200 метров. Верхняя подсвита (памбакской свиты) розовато-серые андезиты и трахиандезиты (районы с.с.Меградзор, Шоржа, Красносельск и район Пушкинского перевала) составляют  $R$  -гори-

зонт. Мощность около 100 метров.

Песчаники и туфобрекции нижнего-среднего олигоцена (районы с.с. Шорехбюр и Ахавнадзор-Ринд) составляют  $\wedge$ -горизонт. Его мощность около 150 метров.

Анdezиты и андезито-дациты горы Медвежья составляют  $R$ -горизонт. Мощность 50 метров. Возраст этих эфузивов олигоценовый. Палеомагнитные данные позволяют провести границу между нерасчлененным нижним-средним олигоценом и верхним олигоценом-нижним миоценом по  $R$ -горизонту горы Медвежья.

Олигоцен-миоценовые отложения у с.с. Гехадир, Адаван составляют горизонт  $\wedge$ -полярности мощностью 60 метров.

Проведена региональная корреляция разных регионов и составлена сводная шкала, отражающая картину инверсий геомагнитного поля в палеогене (рис. I). Ряд горизонтов, выделенных в палеогеновых отложениях Армении, хорошо коррелируется с аналогичными по разным регионам. Некоторое несовпадение объясняется, по-видимому, неточностью корреляции местных схем с единой шкалой, а также фрагментарностью палеомагнитных данных по палеогену.  $R$ -горизонт в дат-палеоценовых образованиях Армении коррелируется с таковым, выделенным в Азербайджане А.З.Гасановым и Туркмении Х.Назаровым.

Горизонт обратной полярности в верхней части нижнего эоцене коррелируется с  $R$ -горизонтом в нижнеэоценовых образованиях Туркмении (Х.Назаров), Аз.ССР (А.З.Гасанов), Таджикистана (Л.Н.Гамов, А.В.Пеньков), Грузии (Л.В.Векуа) и ГДР (*Untiedt*). В среднем эоцене Армении выделены два горизонта обратной полярности. Нижний в туфогенной свите выделен впервые (ширакский  $R$ -горизонт), а верхний  $R$ -горизонт кироваканской вулканогенной свиты коррелируется с таковым в Туркмении, Таджикистане и Грузии (Х.Назаров, Л.Н.Гамов, Л.В.Векуа).

Выявленный в сверзее  $\alpha$  -горизонт коррелируется с аналогичным горизонтом в Туркмении (Х.Назаров).

$\alpha$  -горизонт верхней подсвиты верхнего эоцена коррелируется с горизонтом обратной полярности верхнего эоцена Азербайджана, Туркмении, Таджикистана и Грузии.

Горизонт обратной полярности в эфузивах олигоцена коррелируется с аналогичным горизонтом олигоцена Туркмении (Х.Назаров) и Таджикистана (Л.Н.Гамов, А.В.Пеньков).

Проведено сопоставление опорной палеомагнитной шкалы палеогена Армении и других регионов со шкалой Хейртцлера, построенной на основе интерпретации магнитных линейных океанических аномалий. Нижняя часть разреза, как в шкале Хейртцлера, так и в палеомагнитных шкалах Туркмении, Азербайджана и Армении характеризуется наличием обратноненагниченной зоны. Возраст ее в пределах от 63,8 до 65 млн. лет. Эта зона может служить репером для проведения границы между верхним мелом и палеогеном. Надежным репером, по-видимому, следует считать  $\alpha$  -зону на границе среднего-верхнего эоцена (сверз.). Эта зона выявлена в Туркмении и Армении. Возраст этой зоны лежит в пределах 43 млн. лет. По шкале Хейртцлера ей будет соответствовать магнитная аномалия обратного знака, возраст которой 42,1 млн. лет или 44,4 млн. лет.

Четвертая глава посвящена определению величины напряженности геомагнитного поля по отдельным ярусам палеогена на основе метода Телье. Определение напряженности геомагнитного поля базируется на одной из главных характеристик  $TRM$  - ее пропорциональности приложенному полю.

Определению напряженности геомагнитного поля в третичное время, в частности, в палеогене посвящено незначительное число работ.

Получены следующие значения древнего поля:

средний эоцен:  $H_{gr} = 0,452 \pm 0,047$  э и  $H_{эка} = 0,304 \pm 0,03$  э  
 верхний эоцен:  $H_{gr} = 0,480 \pm 0,06$  э и  $H_{эка} = 0,324 \pm 0,04$  э  
 олигоцен:  $H_{gr} = 0,445 \pm 0,012$  э и  $H_{эка} = 0,30 \pm 0,08$  э

Эти значения древнего поля близки современной величине магнитного поля Земли. Незначительные изменения геомагнитного поля в отдельные периоды палеогена возможно обусловлены вековыми вариациями.

Палеомагнитные исследования позволили получить некоторые сведения о направлении и характере геомагнитного поля в палеогене, вычислить координаты палеомагнитного полюса.

Геомагнитное поле палеогена Армении характеризовалось неоднократными изменениями направления. Чередование палеомагнитных горизонтов разной полярности отмечено во всех ярусах палеогена.

Определение координат палеомагнитных полюсов по отдельным ярусам позволило получить картину "блуждания" полюса (таблица 4).

Таблица 4

Возраст	Координаты отбора		Направление $J_n$				Полярность	Палеомагнитный полюс		
	%	$\lambda_0$	$\vartheta$	$j$	$K$	$\alpha_{95}$		$\Phi$	$\Lambda$	$\theta$
Н.-ср.										
олигоцен	40°08'	44°36'	344	70	II	8	N	72	252	14,2 10,9
Верх.										
эоцен	40°23'	45°01'	17	64	9,7	6	NR	74	180	9 7
Оверас-										
кий ярус	41°03'	44°18'	214	37	70	7	R	55	287	11,2 7,8
Средний										
эоцен	40°37'	44°31'	347	55	19,9	5	NR	79	290	7 5
Нижний										
эоцен	40°50'	44°24'	339	48	20	10	NR	69	245	14 9
Дат-па-										
леоцен	40°52'	43°55'	347	49	10,8	12	NR	73	266	6,6 4,2

Отмечается хорошая сходимость полюсов палеогена Армении с таковыми Средней Азии, Грузии и Азербайджана.

Сравнение координат палеомагнитных полюсов палеогена и неогена Армении показало их хорошую сходимость. Учитывая, что поле в неогене имело дипольный характер, можем предположить, что и в палеогене оно также было дипольным.

### ОСНОВНЫЕ ВЫВОДЫ

1. Впервые составлена опорная палеомагнитная шкала палеогена для территории Армении. Проведена палеомагнитно-стратиграфическая корреляция палеогеновых образований Армении. Уточнены возраст некоторых образований и границы между отдельными ярусами.

2. Палеогеновые образования Армении расчленены на семь прямо-, и шесть обратномагнитенных зон. В среднем эоцене выявлены две палеомагнитные зоны обратной полярности. Одна из них (ширакская  $R$ -зона) выделена впервые и может служить корреляционным и стратиграфическим репером.

3. Величина напряженности геомагнитного поля Армении в палеогене была близка современной. Палеомагнитные полюсы палеогена характеризуются хорошей сходимостью и близки к таковым Евразийского континента.

4. Обратная намагниченность изученных пород обусловлена обратной полярностью геомагнитного поля, существовавшего в период их образования.

5. Естественная остаточная намагниченность эфузивов палеогена в основном двухкомпонентна. Первичная намагниченность имеет природу близкую к  $TRM$  и синхронна процессу остывания лав. Носителем  $TRM$  являются магнетит и титаномагнетит. Вторичная нестабильная компонента связана с маггемитом и титаномаггемитом.

митом.

Стабильная часть  $\Delta H$  осадочных и вулканогенно-осадочных пород имеет намагниченность близкую к ориентационной. Носителем  $\Delta RM$  является магнетит.

6. Эффузивы палеогена по составу ферромагнитной фракции подразделяются на три магнитных типа: магнетит-магнетитовый; магнетит-титаномагнетитовый и магнетит-тианомагнетитовый.

7. Магнитные параметры горных пород палеогена Армении изменяются в широких пределах – от слабомагнитных (мергели, известняки)  $\Delta H = 5-30 \cdot 10^{-6}$  СГС до сильномагнитных (эффузивы) до  $8000 \cdot 10^{-6}$  СГС. Для эффузивов  $Q = 0,5+15$ , составляя в среднем шесть, а для вулканогенно-осадочных  $Q$  лежит в пределах  $0,5+9$ , в среднем  $Q$  равен 3,5.  $Q$  можно использовать для определения возраста эффузивов при совместном анализе с их полярностью.

Основное содержание диссертации опубликовано в следующих работах:

1. Акопян Ц.Г., Каражанян А.К., Минасян Дж.О., Вартанян А.А. Результаты палеомагнитных исследований кайнозойских вулканогенно-осадочных и эффузивных пород Армении. Материалы X Всесоюзного съезда "Главное геомагнитное поле и проблемы палеомагнетизма. Часть III. Москва, 1976, с.4.
2. Каражанян А.К. Некоторые результаты палеомагнитного изучения вулканогенных пород палеогена Севано-Ширанского синклиниория. Материалы республиканской конференции молодых геофизиков, посвященной 60-летию Великого Октября. Ленинакан, 1977, с.45-46.
3. Каражанян А.К. Палеомагнитная стабильность горных пород палеогена Арм.ССР. Там же. с. 49.
4. Акопян Ц.Г., Каражанян А.К. Палеомагнитная характеристика палеогеновых образований Севано-Ширакского синклиниория.

- Изв. АН Арм. ССР, Науки о Земле, № 5, 1978, с. 65-70.
5. Каражанян А.К. Палеомагнитные направления и палеомагнитные полюса. Справочные данные по СССР, выпуск 4. Москва, 1979, с. II.
6. Каражанян А.К. О причине обратной намагниченности эффузивов палеогена Армении. Тезисы докладов республиканской научно-технической конференции молодых геофизиков, посвященной 60-летию установления советской власти в Армении. Ленинакан, 1980, с. 81-83.
7. Каражанян А.К. Термомагнитные исследования эффузивов палеогена Арм. ССР. Изв. АН Арм. ССР, Науки о Земле, № 1, 1980, с. 71-76.
8. Минасян Дж.О., Сирунян Т.А., Каражанян А.К. Палеомагнитно-стратиграфическая шкала мезо-кайнозоя Армении. Изв. АН Арм. ССР, Науки о Земле, № 5, 1981, с. 30-37.
9. Каражанян А.К. Ферромагнитный состав и стабильность намагниченности эффузивов палеогена Армении. Материалы II Всесоюзного съезда "Постоянное геомагнитное поле, магнетизм горных пород и палеомагнетизм". Тбилиси, 1981, с. 66.
10. Каражанян А.К. Результаты палеомагнитных исследований палеогена Армении. Там же. с. 150.

Заказ 60

ВФ 01801

Тираж 100

---

Множительно-копировальное производство Ереванского института народного хозяйства,  
Ереван 25, ул. Абовяна 52.

1818